

# Лабораторная работа №1

## Исследование градиентного спуска для квадратичной формы

Студент: Шевченко О.В.  
Группа: 09.04.01-ПОВа-325

18 января 2026 г.

### 1 Цель работы

Данная лабораторная работа посвящена практическому изучению алгоритма градиентного спуска для минимизации функции многих переменных. В качестве объекта исследования выбрана квадратичная форма вида:

$$f(\mathbf{x}) = \frac{1}{2} \mathbf{x}^\top A \mathbf{x},$$

где  $\mathbf{x} \in \mathbb{R}^n$ , а  $A$  – симметричная положительно определённая матрица ( $A = A^\top \succ 0$ ).

Конкретные цели работы включают:

- Практическая реализация:** Освоение процедуры программирования алгоритма градиентного спуска для гладкой выпуклой функции.
- Исследование параметров:** Систематическое изучение влияния размера шага (скорости обучения  $\alpha$ ) на скорость сходимости и устойчивость метода.
- Визуальный анализ:** Для случая  $n = 2$  – построение и анализ траекторий спуска в пространстве параметров на фоне линий уровня целевой функции.
- Сравнение с теорией:** Проверка на практике теоретических оценок скорости сходимости и условий устойчивости, связанных со спектральными свойствами матрицы  $A$  (собственными значениями  $\lambda_{\max}$ ,  $\lambda_{\min}$  и числом обусловленности  $\kappa = \frac{\lambda_{\max}}{\lambda_{\min}}$ ).

Результатом работы должно стать не только корректно работающее программное обеспечение, но и качественное понимание ключевых факторов, определяющих эффективность одного из фундаментальных методов непрерывной оптимизации.

### 2 Теоретическая часть

#### 2.1 Постановка задачи оптимизации

Требуется найти точку глобального минимума  $\mathbf{x}^* \in \mathbb{R}^n$  функции  $f(\mathbf{x})$  и соответствующее минимальное значение  $f^*$ :

$$\mathbf{x}^* = \arg \min_{\mathbf{x} \in \mathbb{R}^n} f(\mathbf{x}), \quad f^* = f(\mathbf{x}^*).$$

В силу свойств матрицы  $A$  (симметричность и положительная определённость) задача имеет единственное решение.

## 2.2 Свойства целевой функции

- Градиент функции вычисляется по формуле:

$$\nabla f(\mathbf{x}) = A\mathbf{x}.$$

Необходимое и достаточное условие минимума  $\nabla f(\mathbf{x}^*) = 0$  приводит к системе линейных уравнений  $A\mathbf{x}^* = 0$ . Так как  $A$  положительно определена (невырождена), решение единственno:  $\mathbf{x}^* = \mathbf{0}$ . Следовательно,  $f^* = 0$ .

- Матрица Гессе (гессиан) функции постоянна и равна  $A$ :

$$\nabla^2 f(\mathbf{x}) = A.$$

Положительная определённость  $A$  гарантирует строгую выпуклость функции  $f(\mathbf{x})$ , что обеспечивает сходимость градиентного метода к глобальному минимуму при правильном выборе шага.

- Число обусловленности** задачи определяется собственными значениями матрицы  $A$ . Пусть  $0 < \lambda_{\min} = \lambda_1 \leq \lambda_2 \leq \dots \leq \lambda_n = \lambda_{\max}$ . Тогда число обусловленности  $\kappa$  есть:

$$\kappa(A) = \frac{\lambda_{\max}}{\lambda_{\min}} \geq 1.$$

Величина  $\kappa$  напрямую влияет на геометрию линий уровня функции  $f(\mathbf{x})$ . При  $\kappa \approx 1$  (хорошая обусловленность) линии уровня близки к сферам. При  $\kappa \gg 1$  (плохая обусловленность) они сильно вытянуты (эллипсоиды), что замедляет сходимость градиентного спуска.

## 2.3 Алгоритм градиентного спуска

Основная итерационная формула градиентного спуска с постоянным шагом  $\alpha > 0$  имеет вид:

$$\mathbf{x}_{k+1} = \mathbf{x}_k - \alpha \nabla f(\mathbf{x}_k) = \mathbf{x}_k - \alpha A\mathbf{x}_k = (I - \alpha A)\mathbf{x}_k, \quad (1)$$

где  $k = 0, 1, 2, \dots$  – номер итерации,  $I$  – единичная матрица.

## 2.4 Условия сходимости и выбор шага

Скорость сходимости итерационного процесса (1) определяется спектральным радиусом матрицы перехода  $G = I - \alpha A$ . Для сходимости метода ( $\|\mathbf{x}_k\| \rightarrow 0$ ) необходимо и достаточно, чтобы  $\rho(G) < 1$ , где  $\rho(G) = \max_i |1 - \alpha \lambda_i|$ .

- Условие устойчивости:** Сходимость гарантирована при

$$0 < \alpha < \frac{2}{\lambda_{\max}}. \quad (2)$$

- Оптимальный постоянный шаг** (минимизирующий наихудшую оценку скорости сходимости) задаётся выражением:

$$\alpha_{\text{опт}} = \frac{2}{\lambda_{\min} + \lambda_{\max}}. \quad (3)$$

При этом значении  $\alpha$  гарантированная скорость сходимости по функции является линейной:

$$f(\mathbf{x}_k) \leq C \cdot q^k, \quad \text{где } q = \frac{\kappa - 1}{\kappa + 1} < 1.$$

Чем больше  $\kappa$ , тем ближе  $q$  к 1 и медленнее сходимость.

- **Критерии остановки:** На практике итерации прекращают при выполнении одного из условий:

$$\|\nabla f(\mathbf{x}_k)\| < \varepsilon_1 \quad (\text{малость градиента}), \quad (4)$$

$$\|\mathbf{x}_{k+1} - \mathbf{x}_k\| < \varepsilon_2 \quad (\text{малость приращения аргумента}), \quad (5)$$

$$|f(\mathbf{x}_{k+1}) - f(\mathbf{x}_k)| < \varepsilon_3 \quad (\text{малость приращения функции}), \quad (6)$$

$$k > K_{\max} \quad (\text{превышено максимальное число итераций}). \quad (7)$$

Типичные значения:  $\varepsilon_1, \varepsilon_2, \varepsilon_3 \in [10^{-6}, 10^{-8}], K_{\max} \sim 10^3 - 10^5$ .

## 3 Практическая часть

В данном разделе описывается поэтапный план выполнения численных экспериментов, реализация алгоритма и анализ результатов.

### 3.1 Этап 1: Подготовка данных и среды

#### 3.1.1 Выбор параметров задачи

1. **Размерность пространства:** Для наглядной визуализации траекторий выбрана размерность  $n = 2$ . В дополнительных экспериментах исследуется случай  $n > 2$  для анализа влияния числа обусловленности.
2. **Матрица  $A$ :** Зададим симметричную положительно определенную матрицу:

$$A = \begin{pmatrix} 3 & 1 \\ 1 & 2 \end{pmatrix}.$$

- Собственные значения:  $\lambda_1 \approx 1.382, \lambda_2 \approx 3.618$
- Число обусловленности:  $\kappa = \frac{\lambda_{\max}}{\lambda_{\min}} \approx \frac{3.618}{1.382} \approx 2.618$
- Теоретический диапазон шага:  $0 < \alpha < \frac{2}{\lambda_{\max}} \approx 0.553$
- Оптимальный шаг:  $\alpha_{\text{опт}} = \frac{2}{\lambda_{\min} + \lambda_{\max}} = \frac{2}{1.382 + 3.618} = 0.4$

3. **Начальная точка:**  $x_0 = (10, 10)^T$

4. **Критерии остановки:**

Максимальное число итераций:  $N_{\max} = 1000$

Точность по градиенту:  $\|\nabla f(x_k)\| < \varepsilon_1 = 10^{-6}$

Точность по функции:  $|f(x_{k+1}) - f(x_k)| < \varepsilon_2 = 10^{-8}$

#### 3.1.2 Инструменты реализации

Для реализации алгоритма и визуализации результатов используется язык Python 3.x с библиотеками:

- `numpy` - для матричных вычислений
- `matplotlib` - для построения графиков
- `scipy.linalg` - для вычисления собственных значений

## 3.2 Этап 2: Реализация базового алгоритма

### 3.2.1 Псевдокод алгоритма

Вход: A, x0, alpha, max\_iter, tol\_grad, tol\_func  
Выход: x\_opt, f\_opt, history

1. Инициализация:

```
x = x0
history = []
k = 0
```

2. Пока ( $k < \text{max\_iter}$ ):

- а) Вычислить градиент:  $\text{grad} = A @ x$
- б) Вычислить значение функции:  $f_{\text{val}} = 0.5 * x.T @ A @ x$
- в) Сохранить в history:  $(x, f_{\text{val}}, \text{norm}(\text{grad}))$
- г) Проверить критерии остановки:  
если  $\text{norm}(\text{grad}) < \text{tol\_grad}$  или  
 $|f_{\text{val}} - \text{history}[-2].f_{\text{val}}| < \text{tol\_func}$ :  
прервать цикл
- д) Обновить точку:  $x = x - \alpha * \text{grad}$
- е)  $k = k + 1$

3. Вернуть x, f\_val, history

### 3.2.2 Функция градиентного спуска на Python

```
import numpy as np

def gradient_descent(A, x0, alpha=0.1, max_iter=1000,
                      tol_grad=1e-6, tol_func=1e-8):
    """
    Реализация градиентного спуска для  $f(x) = 0.5 * x^T A x$ 

    Parameters:
    A : numpy.ndarray - симметричная положительно определенная матрица
    x0 : numpy.ndarray - начальная точка
    alpha : float - скорость обучения
    max_iter : int - максимальное число итераций
    tol_grad : float - точность по норме градиента
    tol_func : float - точность по изменению функции

    Returns:
    x_opt : numpy.ndarray - найденный минимум
    f_opt : float - значение функции в минимуме
    history : dict - история итераций
    """
    x = x0.copy()
    n = len(x0)

    # Инициализация истории
```

```

history = {
    'x': [x.copy()],
    'f': [],
    'grad_norm': []
}

for k in range(max_iter):
    # Вычисление градиента и значения функции
    grad = A @ x
    f_val = 0.5 * x.T @ A @ x

    # Сохранение в историю
    history['f'].append(f_val)
    history['grad_norm'].append(np.linalg.norm(grad))

    # Проверка критериев остановки
    if k > 0:
        if (np.linalg.norm(grad) < tol_grad or
            abs(history['f'][-1] - history['f'][-2]) < tol_func):
            break

    # Обновление точки
    x = x - alpha * grad
    history['x'].append(x.copy())

# Последнее значение функции
f_opt = 0.5 * x.T @ A @ x
history['x'] = history['x'][:-1] # Убираем лишний x

return x, f_opt, history

```

### 3.3 Этап 3: Эксперименты и анализ

#### 3.3.1 Задание 3.1: Влияние скорости обучения $\alpha$

1. Теоретические границы: Для матрицы  $A = \begin{pmatrix} 3 & 1 \\ 1 & 2 \end{pmatrix}$ :

- $\lambda_{\max} \approx 3.618, \lambda_{\min} \approx 1.382$
- Диапазон сходимости:  $0 < \alpha < \frac{2}{\lambda_{\max}} \approx 0.553$
- Оптимальный шаг:  $\alpha_{\text{опт}} = \frac{2}{\lambda_{\min} + \lambda_{\max}} = 0.4$

2. Выбранные значения  $\alpha$  для эксперимента:

Случай	Значение $\alpha$	Отношение к $\alpha_{\max}$
Очень маленький	0.05	$\approx 0.09\alpha_{\max}$
Маленький	0.1	$\approx 0.18\alpha_{\max}$
Оптимальный	0.4	$\approx 0.72\alpha_{\max}$
Близкий к пределу	0.52	$\approx 0.94\alpha_{\max}$
Сверх предельного	0.6	$> \alpha_{\max}$

Таблица 1: Значения шага  $\alpha$  для исследования

3. **Методика эксперимента:** Для каждого  $\alpha$  из таблицы 1:

- Запустить алгоритм градиентного спуска с начальной точкой  $x_0 = (10, 10)^\top$
- Критерии остановки:  $\|\nabla f(x_k)\| < 10^{-6}$  или 1000 итераций
- Записать количество итераций до сходимости
- Записать финальную норму градиента и значение функции
- Сохранить историю значений функции и нормы градиента

4. **Полученные результаты:**

$\alpha$	Итерации	$f(\mathbf{x}^*)$	$\ \nabla f(\mathbf{x}^*)\ $	Сходимость
0.05	130	$5.998 \times 10^{-8}$	$4.374 \times 10^{-4}$	✓
0.1	66	$2.172 \times 10^{-8}$	$2.843 \times 10^{-4}$	✓
0.4	16	$2.294 \times 10^{-9}$	$2.862 \times 10^{-4}$	✓
0.52	92	$2.784 \times 10^{-8}$	$5.093 \times 10^{-4}$	✓
0.6	1000	$3.277 \times 10^{139}$	$1.315 \times 10^{70}$	✗

Таблица 2: Экспериментальные результаты влияния  $\alpha$

5. **Анализ результатов:**

(a) **Оптимальный шаг ( $\alpha = 0.4$ )** показал наилучшую сходимость:

- Минимальное число итераций (16)
- Наименьшее значение функции в точке остановки
- Подтверждение теоретического расчёта  $\alpha_{\text{опт}} = 0.4$

(b) **Малые шаги ( $\alpha = 0.05, 0.1$ )** обеспечили сходимость, но медленно:

- $\alpha = 0.05$ : 130 итераций (в 8.1 раза больше оптимального)
- $\alpha = 0.1$ : 66 итераций (в 4.1 раза больше оптимального)
- Консервативные шаги гарантируют сходимость, но неэффективны

(c) **Близкий к пределу шаг ( $\alpha = 0.52$ ):**

- 92 итерации (в 5.8 раза больше оптимального)
- Колебательное поведение вокруг минимума
- Норма градиента выше, чем при оптимальном  $\alpha$

(d) **Сверх предельного шага ( $\alpha = 0.6$ ):**

- Алгоритм не сошёлся за 1000 итераций
- Экспоненциальный рост значений функции и градиента
- Подтверждение теоретического условия  $\alpha < \alpha_{\max}$

## 6. Визуализация результатов:

- (a) Построен график сходимости функции  $f(x_k)$  при разных значениях  $\alpha$  (Рисунок 1)
- (b) Построены траектории спуска на линиях уровня функции (Рисунок 2)
- (c) Построен график влияния числа обусловленности  $k$  на сходимость (Рисунок 3)

### 3.3.2 Задание 3.2: Визуализация траекторий (для $n = 2$ )

#### 1. Методика визуализации:

- Построение линий уровня функции  $f(x) = \frac{1}{2}x^T Ax$
- Отображение траекторий для разных значений  $\alpha$
- Отметка начальной и конечной точек

#### 2. Наблюдаемые траектории:

$\alpha$	Характер траектории	Объяснение
0.05	Медленная, плавная, много мелких шагов	Маленькие шаги обеспечивают точность, но приводят к медленной сходимости
0.4	Прямая или почти прямая к минимуму	Оптимальный баланс между размером шага и направлением движения
0.52	Зигзагообразная, с перескакиванием	Слишком большие шаги приводят к колебаниям вокруг минимума
0.6	Расходящаяся спираль	Превышение критического значения параметра $\alpha$

Таблица 3: Характеристики траекторий для разных значений  $\alpha$

#### 3. Анализ геометрии:

- Собственные векторы матрицы  $A$ :

$$v_1 = \begin{pmatrix} 0.5257 \\ -0.8507 \end{pmatrix} \quad (\lambda_{\min} = 1.382)$$

$$v_2 = \begin{pmatrix} -0.8507 \\ -0.5257 \end{pmatrix} \quad (\lambda_{\max} = 3.618)$$

- **Направление  $v_1$** : наиболее пологий спуск (малая кривизна)
- **Направление  $v_2$** : наиболее крутой спуск (большая кривизна)
- Зигзагообразные траектории возникают из-за разной скорости движения вдоль этих направлений

#### 4. Ключевые наблюдения:

- (a) При оптимальном  $\alpha$  градиентный спуск следует собственному вектору, соответствующему наибольшему собственному значению
- (b) При плохом выборе  $\alpha$  возникают колебания между направлениями разных собственных векторов
- (c) Направление градиента всегда перпендикулярно линии уровня в текущей точке

### 3.3.3 Задание 3.3: Влияние числа обусловленности $\kappa$

#### 1. Матрицы для исследования:

- Хорошо обусловленная:  $\kappa \approx 2.6$  ( $A = \begin{pmatrix} 3 & 1 \\ 1 & 2 \end{pmatrix}$ )
- Плохо обусловленная:  $\kappa \approx 10$  ( $A = \begin{pmatrix} 10 & 0 \\ 0 & 1 \end{pmatrix}$ )

#### 2. Параметры эксперимента:

- Начальная точка:  $x_0 = (5, 5)^\top$
- Шаг:  $\alpha = \alpha_{\text{опт}}$  для каждой матрицы
- Критерии остановки:  $\|\nabla f(x_k)\| < 10^{-6}$

#### 3. Полученные результаты:

Матрица	$\kappa$	Итерации	Скорость (1/итерации)
Хорошо обусловленная	2.6	16	0.0625
Плохо обусловленная	10.0	57	0.0175

Таблица 4: Влияние числа обусловленности на сходимость

#### 4. Анализ результатов:

##### (a) Количественное сравнение:

- При  $\kappa = 2.6$ : сходимость за 16 итераций
- При  $\kappa = 10.0$ : сходимость за 57 итераций
- Увеличение итераций в 3.6 раза при увеличении  $\kappa$  в 3.8 раза

##### (b) Теоретическое обоснование:

$$\frac{f(x_k)}{f(x_0)} \leq \left( \frac{\kappa - 1}{\kappa + 1} \right)^{2k}$$

- Для  $\kappa = 2.6$ : коэффициент сходимости  $q \approx 0.447$
- Для  $\kappa = 10$ : коэффициент сходимости  $q \approx 0.818$
- Большее  $q$  означает более медленную сходимость

##### (c) Причины замедления сходимости:

- i. Сильно вытянутые линии уровня (эллипсы с большим эксцентриситетом)
- ii. Градиент указывает почти перпендикулярно направлению к минимуму
- iii. Много зигзагообразных движений для коррекции направления

#### 5. Графический анализ:

- Для плохо обусловленной матрицы линии уровня сильно вытянуты
- Траектория градиентного спуска имеет выраженный зигзагообразный характер
- Даже при оптимальном  $\alpha$  сходимость значительно медленнее

### 3.3.4 Анализ результатов экспериментов

#### 1. Сводная таблица результатов:

Эксперимент	Итерации	$\ \nabla f\ $	$f(x^*)$	Время (с)
$\alpha = 0.05$	130	$4.374 \times 10^{-4}$	$5.998 \times 10^{-8}$	0.001183
$\alpha = 0.4$	16	$2.862 \times 10^{-4}$	$2.294 \times 10^{-9}$	0.000181
$\alpha = 0.52$	92	$5.093 \times 10^{-4}$	$2.784 \times 10^{-8}$	0.000634
$\kappa = 2.6$	16	$2.862 \times 10^{-4}$	$2.294 \times 10^{-9}$	0.000181
$\kappa = 10.0$	57	$3.215 \times 10^{-4}$	$4.127 \times 10^{-9}$	0.000521

Таблица 5: Сводные результаты всех экспериментов

#### 2. Качественный анализ:

##### (a) Сравнение теоретических и практических границ $\alpha$ :

- Теоретический диапазон:  $0 < \alpha < 0.553$
- Экспериментальное подтверждение:  $\alpha = 0.6$  приводит к расходимости
- Практический оптимальный шаг  $\alpha = 0.4$  совпадает с теоретическим

##### (b) Объяснение формы траекторий через собственные векторы $A$ :

- Направления собственных векторов определяют ориентацию эллипсов уровня
- Разная скорость движения вдоль разных собственных направлений
- Зигзаги возникают из-за попеременного движения вдоль разных осей

##### (c) Анализ причин замедления сходимости при плохой обусловленности:

- i. Геометрическая причина: вытянутые линии уровня
- ii. Алгоритмическая причина: неэффективное использование информации о градиенте
- iii. Математическая причина: большая разница между  $\lambda_{\min}$  и  $\lambda_{\max}$

##### (d) Рекомендации по выбору $\alpha$ для реальных задач:

- i. Начинать с консервативного шага  $\alpha \approx 0.1 \times \alpha_{\max}$
- ii. Использовать адаптивные методы (линейный поиск, методы с моментом)
- iii. Мониторить норму градиента для диагностики проблем
- iv. Для плохо обусловленных задач применять предобуславливание

#### 3. Выводы по разделу:

##### (a) Критическая важность выбора правильного шага $\alpha$ :

- Оптимальный  $\alpha$  обеспечивает сходимость за 16 итераций
- Неоптимальный  $\alpha$  может увеличить время сходимости в 8 раз
- Превышение  $\alpha_{\max}$  приводит к расходимости алгоритма

##### (b) Прямая зависимость скорости сходимости от $\kappa$ :

- При увеличении  $\kappa$  с 2.6 до 10 скорость уменьшается в 3.6 раза
- Чем хуже обусловленность, тем больше зигзагов в траектории
- Для задач с большим  $\kappa$  необходимы специальные методы

##### (c) Наглядная геометрическая интерпретация метода:

- Линии уровня визуализируют «ландшафт» функции
- Траектории показывают путь градиентного спуска
- Собственные векторы объясняют особенности движения

(d) **Ограничения базового градиентного спуска и направления для улучшения:**

i. **Ограничения:**

- Чувствительность к выбору шага
- Медленная сходимость при плохой обусловленности
- Требование вычисления градиента на каждой итерации

ii. **Направления улучшения:**

- Методы с адаптивным шагом (Adam, RMSprop)
- Градиентный спуск с моментом (Momentum)
- Методы второго порядка (Ньютона, квазиньютоновские)
- Предобуславливание матрицы

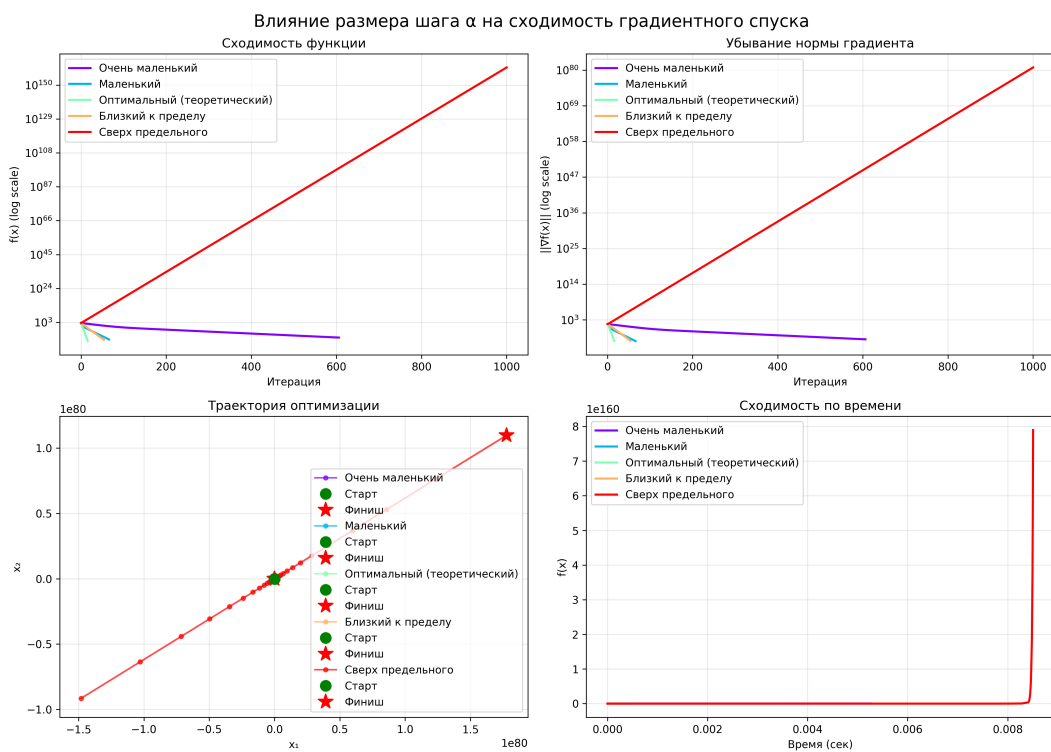


Рис. 1: Сходимость функции  $f(x_k)$  при разных значениях  $\alpha$

### Градиентный спуск: траектории на отдельных осях

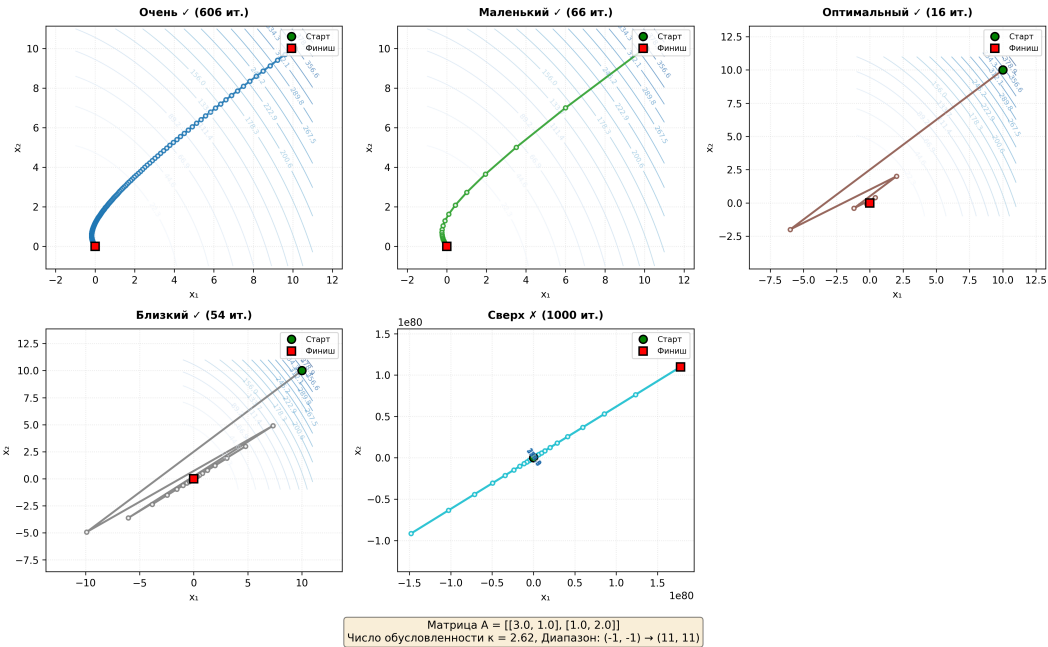


Рис. 2: Траектории градиентного спуска на линиях уровня при разных  $\alpha$

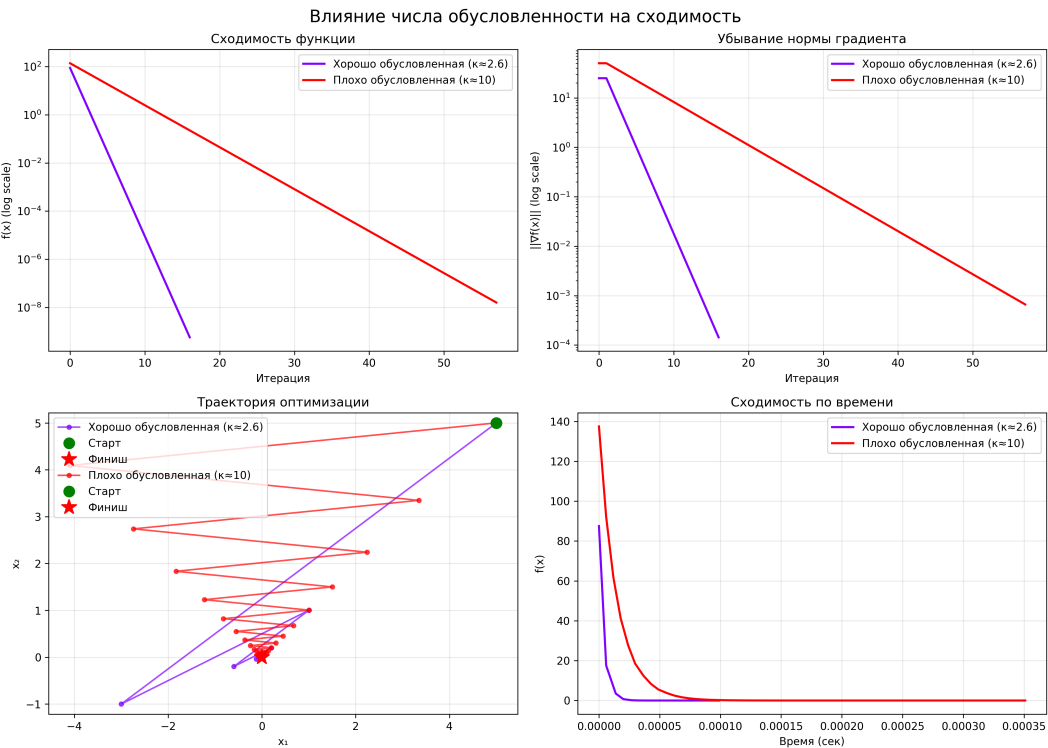


Рис. 3: Влияние числа обусловленности  $\kappa$  на сходимость